

京都大学 正会員 高木興一
京都大学 正会員 平松幸三
京都大学 正会員 山本剛夫

はじめに 筆者らは、変動騒音のうるささが等価な定常音のレベルとして実効騒音レベル(Effective Sound Level; ESL)を定義し、マグニチード評価法によって ESL を測定する方法ならびに測定結果について報告した。¹⁾ 変動騒音のレベルの変動要因のうちレベルの変動速度(dL/dt)がうるささに及ぼす効果については鋸歯状変動騒音を用いて実験した結果、レベルの変動速度はほとんどうるささに寄与しないことが知られた。また、正弦波状変動騒音及び2次の自己回帰型変動騒音を用いて、レベルの変動周波数とうるささとの関係を検討した実験成績においても両者に関係は認められなかつた。²⁾ レベルの変動巾のうるささに対する寄与については、上記3種の騒音に加えて1次の自己回帰型変動騒音による実験成績²⁾を併せて検討した結果、レベルの平均値(L)を一定にすればうるささは d と共に増大するが、 Leg を一定にすればうるささは d に無関係になることが明らかとなった。従って $NPL (= Leg + 2.56d)$ は変動巾を過大視した評価尺度であると言える。上記実験結果から各種の評価尺度の妥当性を検討した結果、 NPL , TNI , L , L_{50} はうるささとの対応が悪く、 Leg , L_{10} , $L+o$ がうるささとの対応がよかつた。しかし、上記の騒音においては、 Leg , L_{10} , $L+o$ の値が互にほぼ等しいため、これらのうちいずれが妥当であるか決することができなかつたので、今回はこれらの諸量の異なる騒音を用いて実験し、各種評価尺度の妥当性を検討する。

実験1 <方法> 交通騒音のレベルの予測に用いられる一車線等間隔モデルに基づく模擬交通騒音の相対的なレベルは車頭間隔を S 、車線から受音点までの距離を d とすれば、 d/S によって決まり、 Leg , L_{10} 等は d/S が大きい場合には等しく、 d/S が小さくなると異なる。この知識を利用して、表1に示す条件で d/S を変えた音(ホワイトズ)を各種作製し、刺激音とした。ただし、これらの音は通常の走行速度では d/S が小さいとほとんど衝撃音のようになるので、これを避けるため、1周期が 20.0 ms となるようにして、1周期分のみを用いて被験者は男女学生 30 名で、うるささはマグニチード評価法によって測定した。<結果> 定常音に関する実験成績から、騒音レベルとうるささの比との関係を得、これに基づいて、すべての成績を実効騒音レベル(ESL dB)で表わした。実験成績は印でプロットし、その 95% 信頼限界を線分で表示した。図からわかるように、 d/S が大きい場合には ESL は Leg , L_{10} 等とほど等しく、 d/S が 32 及び 64×10^{-3} では L_{10} に近く、 d/S が 2 及び 4×10^{-3} では Leg に一致している。 Leg と $\log(d/S)$ に対する直線を母回帰直線といふ。場合に、ESL と $\log(d/S)$ に対する回帰直線が母回帰直線に一致するか否か検定した結果、有意差を認められなかつて(有意水準: 0.05)。

実験2 <方法> 実験1の結果から、 Leg が評価尺度として優れていることが明かとなつた。こゝでは、 Leg の妥当性を更に検討するため、刺激音として以下に示す4種の音を用いて実験を行つた。即ち、凸型変動騒音は、ピークレベル(PL)とバッファーグラウンドレベル(BL)のみをとる音で 20.0 ms 中に 0.5 s の PL が 2 回発生する。凹型変動騒音は逆に 20.0 ms 中に 0.5 s の BL が 4 回発生する。上昇音は BL から PL に 20.0 ms かけて達する音で、下降音はその逆である。表2には各刺激音の物理

表1 模擬交通騒音の物理性状
 $S = 100 \text{ m}$
 $d = 0.2, 0.4, 0.8, 1.6,$
 $3.2, 6.4, 1.28, 2.56 \text{ m}$
 $PWL = 93.4 \text{ dBA}$
 $\text{走行速度} = 18 \text{ Km/h}$
 $\text{継続時間} = 20 \text{ s}$

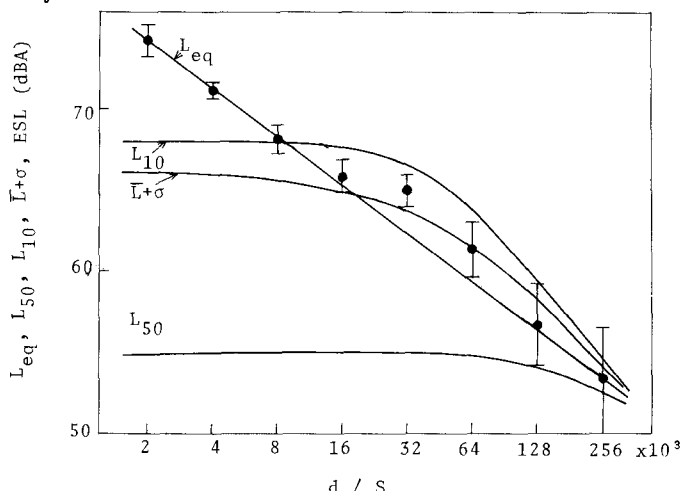


図1 等間隔モデル模擬交通騒音の ESL と Leg , L_{10} , L_{50} , $L+o$ の関係

性状を記した。被検者は男女30名で、うるささはマグニチュード評価法によって測定した。

〈結果〉 定常音に関する成績を用いて、全実験成績をESLで表わした。図3では横軸に L_{eq} をとり、縦軸にESLをとて凸型及び凹型の変動騒音の成績をプロットした。図中の実線は $ESL = L_{eq}$ を、点線は $ESL \propto L_{eq}$ に対する回帰直線を、一点鎖線はピークレベルが等しい時のESLと L_{eq} との関係を示している。凸型変動騒音では $PL - BL$ が20 dB以上になるとそれ以上の差が開いても L_{eq} は変化しないが、ESLはなるべく変化する。また、 $PL - BL = 10$ dBの凸型変動騒音と凹型変動騒音とでは L_{eq} は約7 dB異なるが、ESLの異同は小さい。即ち、PLを一定にしてL_{eq}ル変動の様子を変えた場合には、ESLと L_{eq} との関係は非線形になる。これは凸型及び凹型の変動騒音のうるささと L_{eq} によって説明することができないことを示している。

図4では上昇音と下降音の成績を示して。図からわかるように、上昇音のESLは下降音のESLより大きく、平均してその差は8.6 dBである。上昇音と下降音とでは L_{eq} は等しいから、これらの騒音については L_{eq} でうるささを予測することはできない。

図5では、以上記載した刺激音と、以前に筆者らが行なった実験で用いた刺激音¹²⁾とを併せて、合計118個の刺激音について、それらのESLと L_{eq} に対してプロットした。図中の実線は $ESL = L_{eq}$ の関係を示し、点線は $ESL \propto L_{eq}$ に対する回帰直線を示す。図からわかるように、ESLは L_{eq} と線形比例関係にある。凸型及び凹型の変動騒音ならびに上昇音、下降音の成績から等エネルギー則(二つの騒音のエネルギーが等しい時、両者のうるささも等しいとする説)は否定されるが、1次近似としてうるささは L_{eq} によって予測されると言える。

文献

- 1) 平松他；日本公衆衛生学会雑誌 25(5) 1978
- 2) 平松他；日本音響学会誌 34(7) 1978

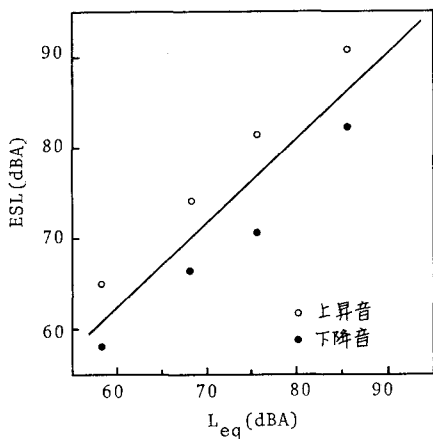


図4 ESL vs. L_{eq} (上昇音及び下降音)

—— ; $ESL = L_{eq}$

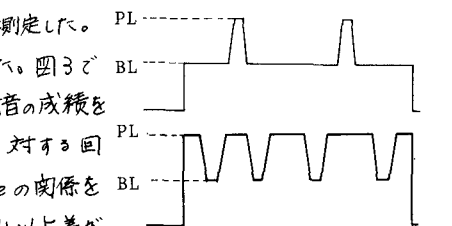


図2 凸型(上)及び凹型(下)変動騒音のレベル波動図

表2 刺激音の物理性状

	PL					BL						
	95	95	95	95	95	95	35	45	55	65	75	85
凸型												(dBA)
PL	85	85	85	85	85	85	75	75	75	75	75	(dBA)
BL	35	45	50	55	65	75	35	45	50	55	65	(dBA)
凹型												(dBA)
PL	95	85	75	75	75	75	65	65	65	65	65	(dBA)
BL	35	45	50	55	65	75	35	45	50	55	65	(dBA)
上昇	PL	65	75	85	95	95						(dBA)
下降	BL	45	55	65	55	55						(dBA)

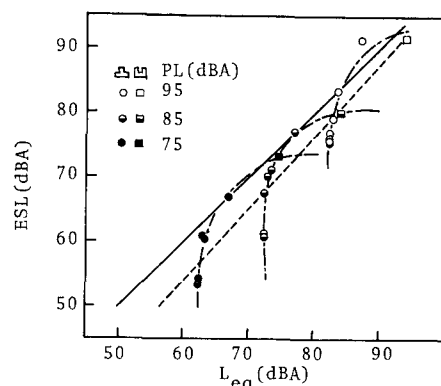


図3 ESL vs. L_{eq} (凸型及び凹型変動騒音)
—— ; $ESL = L_{eq}$, -----; 回帰直線

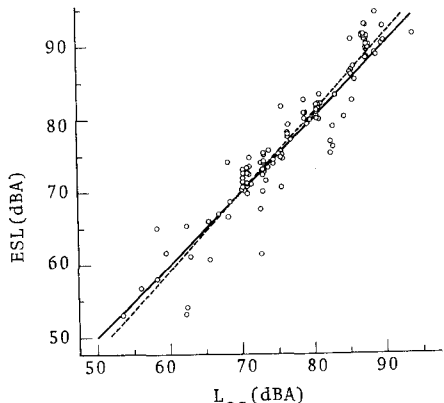


図5 ESL vs. L_{eq} (118個の刺激音)

—— ; $ESL = L_{eq}$
-----; 回帰直線 ($\text{傾き} = 1.076$, 相関係数 = 0.946)